

# Języki Modelowania i Symulacji

## Podstawowe narzędzia przetwarzania danych w MATLABIE

Marcin Ciołek

Katedra Systemów Automatyki  
WETI, Politechnika Gdańska

18 października 2011

## Literatura:

1. D. Kincaid, W. Cheney: „Analiza numeryczna”, Wydawnictwo Naukowo Techniczne, 2006.
2. P. Davis, W.: „Differential Equations - Modelling with MATLAB”, Prentice Hall, 1999.
3. Dokumentacja MATLABA i SIMULINKA.
4. B.Mrozek, Z. Mrozek: „MATLAB Uniwersalne środowisko do obliczeń naukowo-technicznych”, Kraków 1995.
5. T.P. Zieliński: „Cyfrowe przetwarzanie sygnałów - Od teorii do zastosowań”, Warszawa 2009.

# O czym będziemy dziś mówili?

Filtr FIR

Splot

Filtr IIR

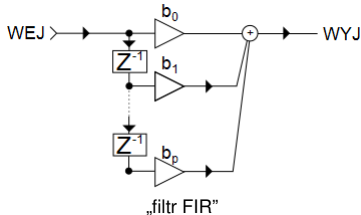
1 Filtr FIR

2 Splot

3 Filtr IIR

Jak filtrujemy sygnał?

Filtr FIR (z ang. „finite impulse response”)



$$H(z^{-1}) = b_0 + b_1 z^{-1} + \dots + b_n z^{-n}$$

## Własności filtrów FIR:

### **Zalety:**

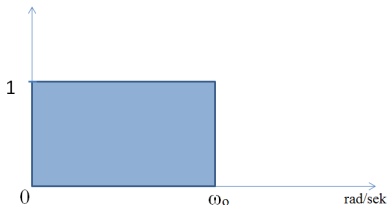
- liniowy przebieg fazy
- filtr stabilny
- względnie łatwe procedury projektowania filtrów
- łatwość implementacji hardware'owej
- wpływ warunków początkowych jest zawsze skończony

### **Wady:**

- duży wymagany rząd filtru (większy niż odpowiednich filtrów IIR)
- większe opóźnienie w torach sygnałowych

## idealny filtr

Idelana charakterystyka amplitudowa filtru



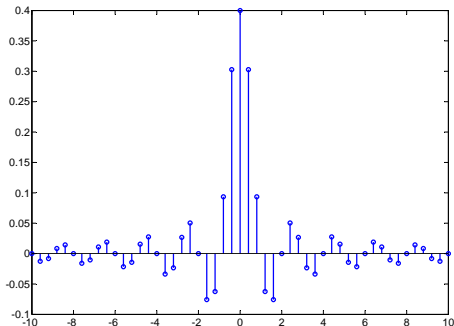
odpowiedź impulsowa tego filtru

$$\begin{aligned}
 h(n) &= \frac{1}{2\pi} \int_{-\pi}^{\pi} H(\omega) e^{j\omega n} d\omega = \frac{1}{2\pi} \int_{-\omega_0}^{\omega_0} e^{j\omega n} d\omega = \\
 &= \frac{\omega_0}{\pi} \operatorname{sinc}\left(\frac{\omega_0 n}{\pi}\right)
 \end{aligned}$$

Co powiesz o odpowiedzi impulsowej idealnego filtru FIR?

# sinc

Idealna charakterystyka amplitudowa filtru obcięta za pomocą okna prostokątnego

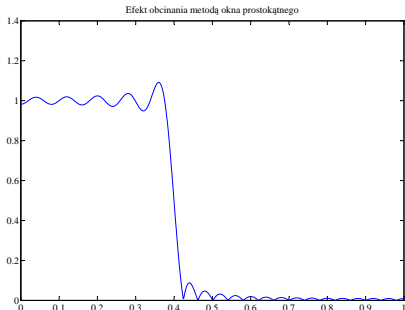


Ile wynosi częstotliwość odcięcia?

```
b = 0.4*sinc(0.4.*(-25:25));  
stem(0.4.*(-25:25),b)
```

## efekt Gibbsa

Jak można ograniczyć ten efekt?

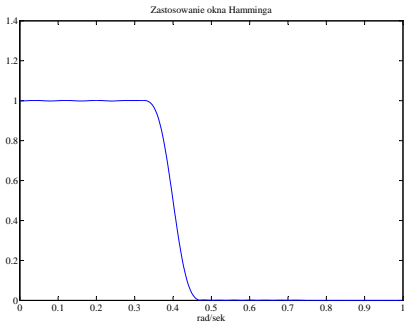


```
Fp = 2; %Hz
n = 512;
[H,w]=freqz(b,1,n,Fp);
plot(w,abs(H))
set(gca,'FontName','Times New Roman CE','FontSize',16)
title('Efekt obcinania metodą okna prostokątnego')
xlabel('rad/sek')
```



# hamming

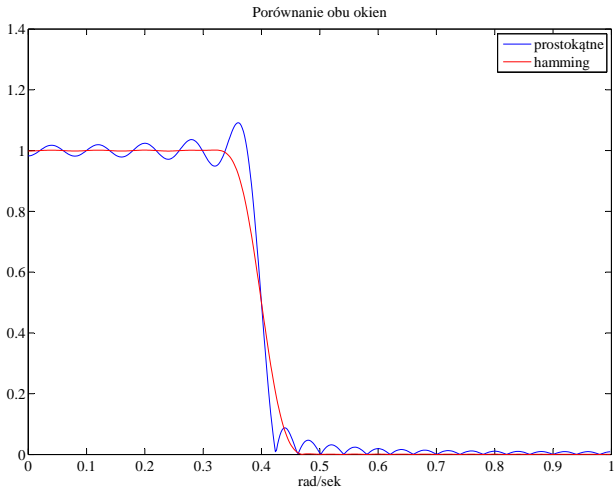
Co się poprawiło, a co się pogorszyło?



```
Fp = 2; %Hz
n = 512;
b=b.*hamming(51)';
[H,w]=freqz(b,1,512,2);
plot(w,abs(H))
set(gca,'FontName','Times New Roman CE','FontSize',16)
title('Zastosowanie okna Hamminga') xlabel('rad/sek')
```

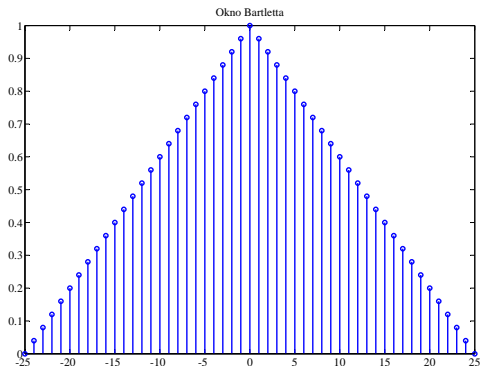
# hamming

Co się poprawiło, a co się pogorszyło?



# bartlett

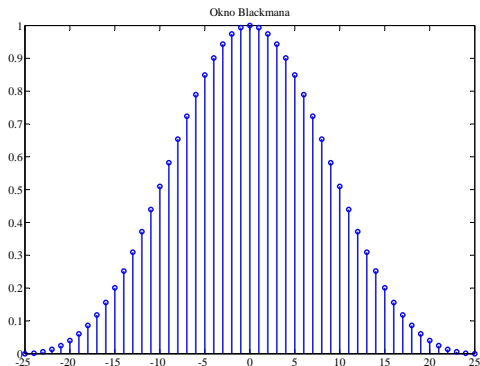
$$w[k] = \begin{cases} \frac{2(k-1)}{n-1} & \text{dla } 1 \leq k \leq \frac{n+1}{2} \\ 2 - \frac{2(k-1)}{n-1} & \text{dla } \frac{n+1}{2} \leq k \leq n \end{cases}$$



```
w3 = bartlett(51);  
stem(-25:25,w3)
```

## blackman

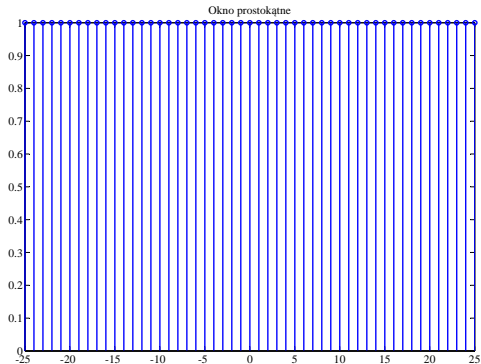
$$w[k] = 0.42 - 0.5 \cos\left(2\pi \frac{k-1}{n-1}\right) + 0.08 \cos\left(4\pi \frac{k-1}{n-1}\right)$$
$$k = 1, \dots, n$$



```
w3 = blackman(51);  
stem(-25:25,w3)
```

## Okno prostokątne

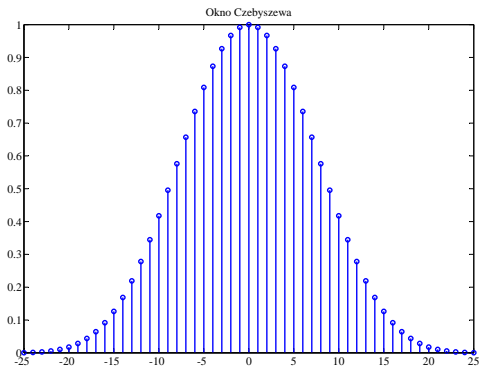
$w = \text{boxcar}(n)$



```
w3 = boxcar(51);  
stem(-25:25,w3)
```

## Okno Czebyszewa

$$w = \text{chebwin}(n,r)$$



```
n=51;    r=100;%dB  
w3 = chebwin(n,r);  
h=stem(-25:25,w3)
```

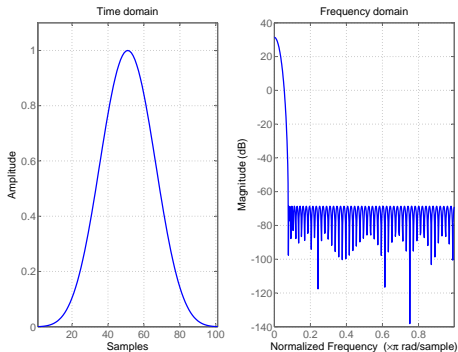
## Okno Czebyszewa

$$\mathbf{w} = \text{chebwin}(n,r)$$

$n$  - punktowe okno dla  $n$  nieparzystego

$(n + 1)$  - punktowe okno dla  $n$  parzystego

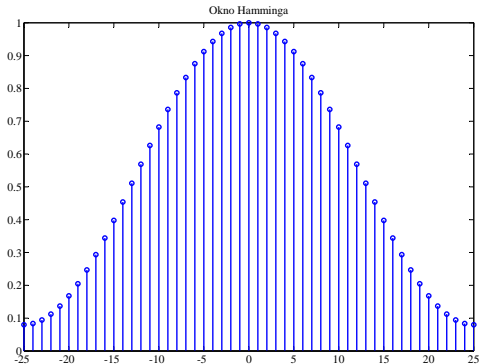
$r$  - wielkość tłumienia zafalowań poza pasmem przenoszenia w [dB]



```
n=51;    r=100;%dB
wvtool(chebwin(n,r))
```

# hamming

$$w[k] = 0.54 - 0.46 \cos\left(2\pi \frac{k}{n-1}\right) \quad k = 0, \dots, n-1$$

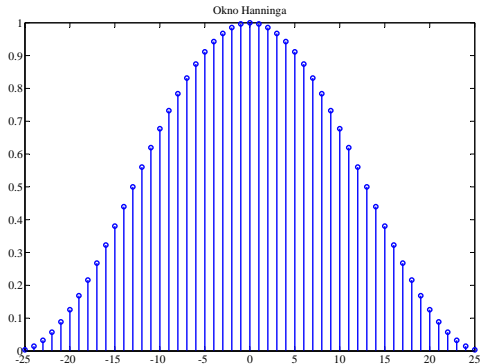


```
w3 = hamming(51);  
stem(-25:25,w3)
```



# hanning

$$w[k] = 0.5 \left( 1 - \cos \left( 2\pi \frac{k}{n+1} \right) \right) \quad k = 1, \dots, n$$



```
w3 = hanning(51);  
stem(-25:25,w3)
```

## Okno Kaisera

$$\mathbf{w} = \mathbf{kaiser}(n, \beta)$$

$\beta$  - współczynnik odpowiedzialny za tłumienie listków bocznych  
 $\alpha$  - [dB] tłumienie listków bocznych

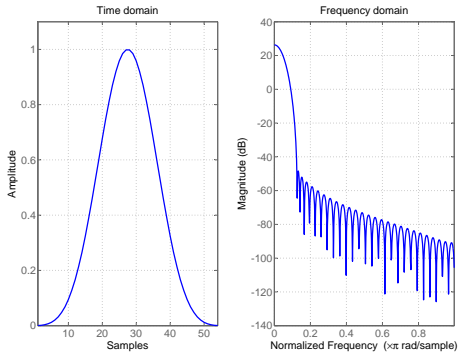
$$\beta = \begin{cases} 0.1102(\alpha - 8.7) & \text{dla } \alpha \geq 50 \\ 0.5842(\alpha - 21)^{0.4} + 0.07886(\alpha - 0.21) & \text{dla } 50 \geq \alpha \geq 21 \\ 0 & \text{dla } \alpha \leq 21 \end{cases}$$

zwiększając  $\beta$  uzyskuje się:

- poszerzenie listka głównego
- zwiększenie tłumienia listków bocznych

$$n \approx \frac{\alpha - 8}{2.285\Delta} + 1 \quad \text{gdzie } \Delta \text{ [rad/s] pasmo}$$

# kaiser



```
n=54; beta = 10.06126; alpha = 100; %dB  
wvtool(kaiser(n,beta))
```

## Okno trójkątne

$$\mathbf{w} = \text{triang}(n)$$

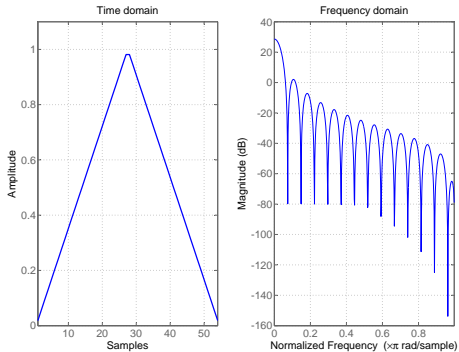
$n$  - nieparzyste

$$w[k] = \begin{cases} \frac{2k}{n+1} & \text{dla } 1 \leq k \leq \frac{n+1}{2} \\ \frac{2(n-k+1)}{n+1} & \text{dla } \frac{n+1}{2} \leq k \leq n \end{cases}$$

$n$  - parzyste

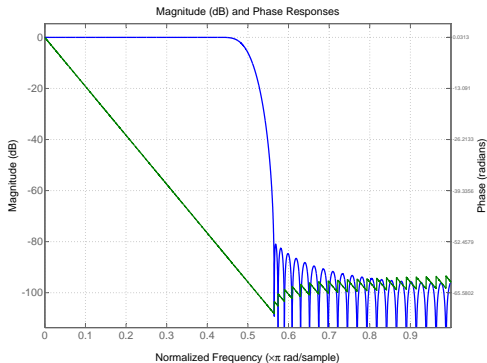
$$w[k] = \begin{cases} \frac{2k-1}{n+1} & \text{dla } 1 \leq k \leq \frac{n}{2} \\ \frac{2(n-k+1)}{n} & \text{dla } \frac{n}{2} \leq k \leq n \end{cases}$$

# triang



```
n=54;  
wvtool(triang(n))
```

# kaiser



```
b = fir1(80,0.5,kaiser(81,8));  
hd = dfilt.dffir(b);  
freqz(hd);
```

## wymnażanie okien

$w[n]$  - okno  $1 \leq n \leq N$

$h[n]$  - odpowiedź impulsowa idealnego filtru ('prototypu'), czyli odwrotna transformata Fouriera idealnej charakterystyki częstotliwościowej

zatem

$$b[n] = w[n]h[n] \quad 1 \leq n \leq N$$

Klasyczna metoda syntezy filtru FIR-owego o liniowej fazie

$$\mathbf{b} = \text{fir1}(n, W_n, \text{'ftype'}, \text{'window'})$$

$$b(z^{-1}) = b(1) + b(2)z^{-1} + \dots + b(n+1)z^{-n}$$

$n$  - rząd filtru

$W_n \in [0, 1]$  - wektor unormowanych pulsacji

(1 - odpowiada pulsacji Nyquista)

'ftype' - **'high'**, **'stop'**

'window' - typ okna poprawiającego charakterystykę filtru  
(domyślnie 'window' = 'hamming')



$$F_p, f_{g1}, f_{g2}, w_1 = \frac{2f_{g1}}{F_p}, w_2 = \frac{2f_{g2}}{F_p}$$

- filtr dolnopasmowy

$$\mathbf{b} = \text{fir1}(n, w_1)$$

- filtr górnopasmowy (n - parzyste!)

$$\mathbf{b} = \text{fir1}(n, \text{'high'}, w_1, \text{'hann'})$$

- filtr pasmowoprzepustowy

$$\mathbf{b} = \text{fir1}(n, [w_1 \ w_2], \text{'bartlett'})$$

- filtr pasmowozaporowy (n - parzyste!)

$$\mathbf{b} = \text{fir1}(n, \text{'stop'}, [w_1 \ w_2], \text{'boxcar'})$$

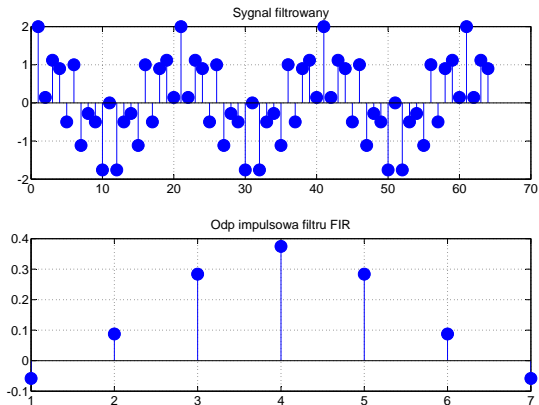
$$F_p = 100\text{Hz}, f_1 = 5\text{Hz}, f_2 = 40\text{Hz}, f_g = 20\text{Hz}, w_1 = \frac{2f_g}{F_p}$$

Filtr FIR

Plot

Filtr IIR

### fir1(n,w1)



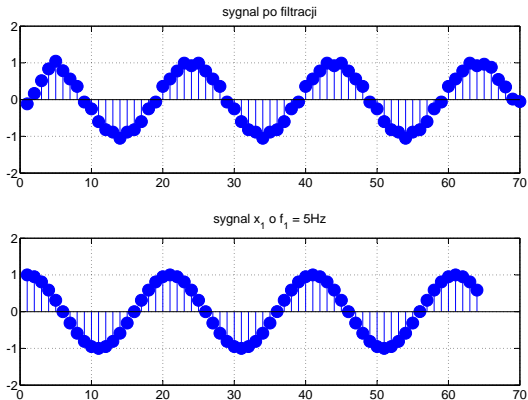
```
N = 64; fpr=100; fx1=5; fx2=40;
nx = 0:N-1; dt = 1/fpr; t = dt*nx;
x1 = cos(2*pi*fx1*t);
x2 = cos(2*pi*fx2*t);
x = x1 + x2;

M = 7; fg = 20;
h = fir1(M-1,2*fg/fpr,boxcar(M))
>>ans = -0.0584  0.0876  0.2835  0.3746  0.2835  0.0876
-0.0584

subplot(211); stem(x,'filled'); grid;
title('Sygnał filtrowany');
subplot(212); stem(h,'filled'); grid;
title('Odp impulsowa filtru FIR');
```

Funkcja MATLAB-a pozwala w łatwy sposób dokonać splotu dwóch wektorów

## conv(x,h)



## Funkcja splotu realizowana przez MATLAB-a

Filtr FIR

Splot

Filtr IIR

```
% odwróć kolejność próbek
h = h(M:-1:1);
% uzupełnij sygnał M-1 zerami po obu stronach
xe = [zeros(1,M-1) x zeros(1,M-1)];
% sygnał wyjściowy
ye = zeros(1,N+2*(M-1));
subplot(311); stem(xe,'filled'); title('WE'); pause
% liczba próbek „niezerowych”
for n = 1 : N+(M-1)
% przesun (ustaw) odp impulsową
he = [zeros(1,n-1) h zeros(1,(N-1)+(M-1)-(n-1))];
% wymnóż x i przesunięte h
y(n) = sum( xe .* he ); ye((M-1)+n)=y(n);
% narysuj przesunięte h
subplot(312); stem(he,'filled'); title('odp impuls');
% narysuj aktualne wyjście
subplot(313); stem(ye,'filled'); title('WY');
pause
end
subplot(111); plot(t,x1,'r',t,y(1:N),'b');
grid; title('We (R) i Wy (B)');
```

## spłot bezpośredni

```
% długość sygnałów z dodanymi zerami
K = N+M-1;
% dodaj zera jeśli krótszy
xz=[x zeros(1,K-N)];
% odwróć kolejność próbek
hh = h(M:-1:1);
% bufor na próbki wejściowe
bx = zeros(1,M);
% wyzeruj sygnał wyjściowy
y = [];
% pętla „po” próbkach
for n = 1 : K
% przesun próbki w buforze o jedną do tyłu, bx(1)=x(n);
    bx = [xz(n) bx(1:M-1)];
% filtracja; inaczej (szybciej): y(n)=bx*h'
    y(n) = sum(bx.*hh);
end
```

# szybki splot

```
%  znajdź dłuższy
NM = max(N,M);
%  dodaj zera, jeśli krótszy
xz=[x zeros(1,NM-N)];
%  dodaj zera, jeśli krótszy
hz=[h zeros(1,NM-M)];
X = fft(xz); H=fft(hz);
Y = X .* H;
yfft = ifft(Y);
y1 = real(yfft);
```

# spłot liniowy

```
% długość sygnałów z dodanymi zerami
K = N+M-1;
% dodaj zera, jeśli krótszy
xz=[x zeros(1,K-N)];
% dodaj zera, jeśli krótszy
hz=[h zeros(1,K-M)];
X = fft(xz); H=fft(hz);
Y = X .* H;
yfft = ifft(Y);
y2 = real(yfft);
```



## Arbitralne kształtowanie charakterystyki amplitudowej filtru FIR

$$\mathbf{b} = \text{fir2}(\mathbf{n}, \mathbf{f}, \mathbf{m})$$

$\mathbf{n}$  - rząd filtru

$\mathbf{f}$  - wektor unormowanych częstotliwości względem częstotliwości Nyquista  $\in [0, 1]$  (uporządkowanie narastające!)

$\mathbf{m}$  - wektor amplitud (modułów) charakterystyki filtru dla częstotliwości z wektora  $\mathbf{f}$

Arbitralne kształtowanie charakterystyki amplitudowej filtra FIR

$$\mathbf{b} = \text{fir2}(\mathbf{n}, \mathbf{f}, \mathbf{m}, \text{'window'})$$

**'window'** - okno użyte w projekcie filtra (wektor o  $n + 1$  współczynnikach, dom. okno Hamminga)

Arbitralne kształtowanie charakterystyki amplitudowej filtru FIR

$$\mathbf{b} = \text{fir2}(\mathbf{n}, \mathbf{f}, \mathbf{m}, \mathbf{p}, \text{'window'})$$
$$\mathbf{b} = \text{fir2}(\mathbf{n}, \mathbf{f}, \mathbf{m}, \mathbf{p})$$

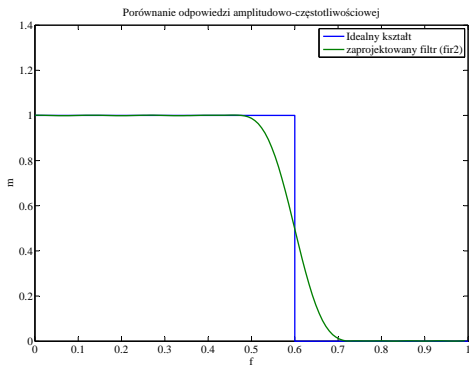
***p*** - liczba punktów interpolacji, które są przyjmowane, aby uzyskać dokładniejszą specyfikacją ch-ki amplitudowej (dom. 512)

Arbitralne kształtowanie charakterystyki amplitudowej filtra FIR

$$\mathbf{b} = \text{fir2}(\mathbf{n}, \mathbf{f}, \mathbf{m}, \mathbf{p}, \mathbf{lap})$$

$$\mathbf{b} = \text{fir2}(\mathbf{n}, \mathbf{f}, \mathbf{m}, \mathbf{p}, \mathbf{lap}, \text{'window'})$$

**lap** - specyfikuje się rozmiar obszaru, który otacza punkty (na skali częstotliwości, wektor  $\mathbf{f}$ ) o jednakowych wartościach (dom. 25)



```
n=30;    f = [0 0.6 0.6 1];    m = [1 1 0 0];  
b = fir2(n, f, m);  
[h, w] = freqz(b, 1, 128);  
plot(f, m, w/pi, abs(h))
```

Projektowanie filtrów FIR-owych o liniowej fazie metodą najmniejszych kwadratów (aproksymacja zadanej ch-ki amplitudowej)

$$\mathbf{b} = \text{firls}(\mathbf{n}, \mathbf{f}, \mathbf{m}, \mathbf{w})$$

$\mathbf{n}$  - rząd filtru

$\mathbf{b}$  - wektor  $(n + 1)$  współczynników filtru, którego ch-ka amplitudowa aproksymuje ch-kę opisaną przez wektory  $\mathbf{f}$  i  $\mathbf{m}$

$\mathbf{f}$  - wektor unormowanych częstotliwości względem częstotliwości Nyquista  $\in [0, 1]$  (uporządkowanie narastające!)

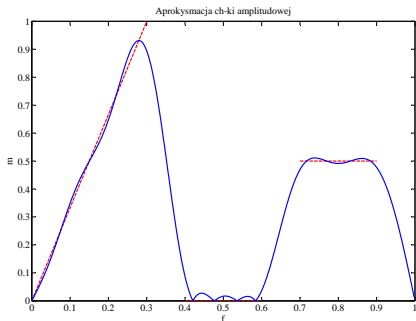
$\mathbf{m}$  - wektor amplitud (modułów) charakterystyki filtru dla częstotliwości z wektora  $\mathbf{f}$

$\mathbf{w}$  - wektor wagowy równy o długości równej połowie  $\mathbf{f}$

- Współczynniki wektora  $\mathbf{b}$  są symetrycznie ułożone

$$b(k) = b(n + 2 - k), \quad k = 1, \dots, n + 1$$

- $\mathbf{f}$  i  $\mathbf{m}$  muszą być tej samej długości i musi to być liczba parzysta
- funkcja łączy pary punktów  $(f(k), m(k))$  i  $(f(k + 1), m(k + 1))$  odcinkiem liniowym dla  $k$  nieparzystych
- funkcja nie łączy par punktów  $(f(k), m(k))$  i  $(f(k + 1), m(k + 1))$  odcinkiem liniowym dla  $k$  parzystych (nie są uwzględniane w aproksymacji)



```
f = [0 0.3 0.4 0.6 0.7 0.9]; m = [0 1 0 0 0.5 0.5];  
b = firls(24,f,m,'hilbert');  
for i=1:2:6,  
    plot([f(i) f(i+1)], [m(i) m(i+1)], 'r--'), hold on  
end  
[H,w] = freqz(b,1,512,2);  
plot(w,abs(H))
```



## podsumowanie

### W MATLAB-ie:

- filtry cyfrowe projektuje się dla unormowanych częstotliwości
- częstotliwość jednostkowa to częstotliwość Nyquista =  $\frac{1}{2}$  częstotliwości próbkowania
- częstotliwość unormowana  $\in [0, 1]$
- np.: próbkowanie z częstotliwością 1000 Hz, rzeczywista częstotliwość sygnału  $f = 300$  Hz, co odpowiada częstotliwości unormowanej  $\frac{300}{500} = 0.6$
- zamiana częstotliwości unormowanej na pulsację:  $x\pi$
- zamiana częstotliwości unormowanej na częstotliwość rzeczywistą:  $x\frac{1}{2}F_s$

## Filtr o nieskończonej odpowiedzi impulsowej

### Zalety:

- niska złożoność obliczeniowa
- niewielkie zapotrzebowanie na pamięć operacyjną.

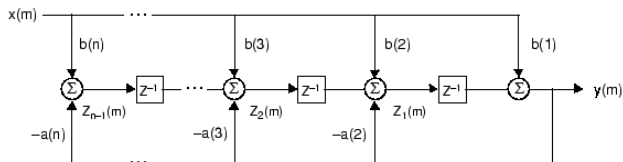
### Wady:

- zagrożenie utraty stabilności
- projektowanie filtrów IIR jest znacznie trudniejsze niż w przypadku filtrów FIR
- filtry IIR są znacznie bardziej wrażliwe na błędy zaokrągleń
- nieliniowość fazy

Transmitancja filtru w dziedzinie zmiennej zespolonej  $Z$

$$Y(z) = \frac{b(1) + b(2)z^{-1} + \dots + b(nb + 1)z^{-nb}}{1 + a(2)z^{-1} + \dots + a(na + 1)z^{-na}} X(z)$$

Schemat filtru - bezpośrednia struktura typu II



## Równanie różnicowe

$$y(n) = b(1)x(n) + b(2)x(n - 1) + \dots + b(nb + 1)x(n - nb) - \\ - a(2)y(n - 1) - \dots - a(na + 1)y(n - na)$$

Filtracji sygnału dokonujemy za pomocą gotowej funkcji  
MATLAB-a

$$\mathbf{y} = \mathbf{filter}(\mathbf{b}, \mathbf{a}, \mathbf{x})$$

$x$  - sygnał wejściowy

$y$  - sygnał wyjściowy po filtracji

## Filtr Butterwortha (LP):

- maksymalnie płaska charakterystyka modułu w paśmie przenoszenia
- poza pasmem ch-ka ta monotonicznie maleje

$$[b,a,k] = \text{butter}(n,Wn,'ftype')$$

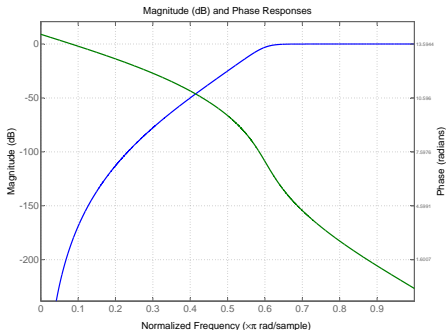
$$[A,B,C,D] = \text{butter}(n,Wn,'ftype')$$

$Wn$  - odpowiada modułowi ch-ki widmowej  $= \frac{1}{\sqrt{2}}$  (3dB)

'ftype' - 'high', 'low', 'stop'

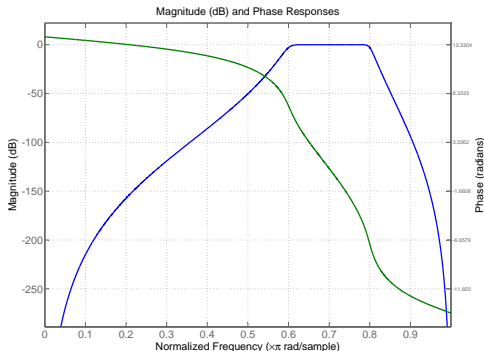
$[A, B, C, D]$  - model w przestrzeni stanów

# butter



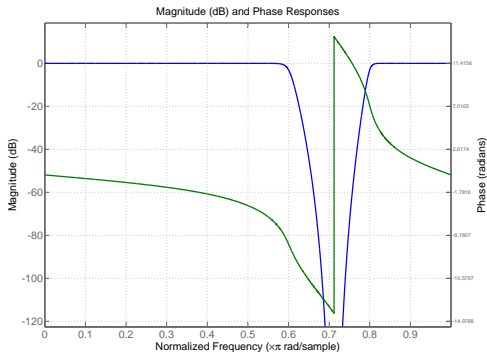
```
n=9; Fs = 1000; F = 300; w1 = F/(Fs/2);  
[b,a] = butter(n,w1,'high');  
[sos,g] = zp2sos(b,a);  
Hd = dfilt.df2tsos(sos,g);  
h = fvtool(Hd);  
set(h,'Analysis','freq')
```

## Otrzymujemy $2n$ -rzędowy filtr



```
n=9; Fs = 1000; F1 = 300; F2 = 400;
w1 = F1/(Fs/2); w2 = F2/(Fs/2);
[b,a] = butter(n,[w1,w2]);
[sos,g] = zp2sos(b,a);
Hd = dfilt.df2tsos(sos,g);
h = fvtool(Hd);
set(h,'Analysis','freq')
```

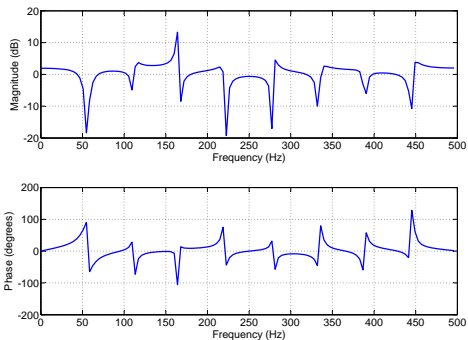
## Otrzymujemy $2n$ -rzędowy filtr



```
n=9; Fs = 1000; F1 = 300; F2 = 400;
w1 = F1/(Fs/2); w2 = F2/(Fs/2);
[b,a] = butter(n,[w1,w2], 'stop');
[sos,g] = zp2sos(b,a);
Hd = dfilt.df2tsos(sos,g);
h = fvtool(Hd);
set(h, 'Analysis', 'freq')
```

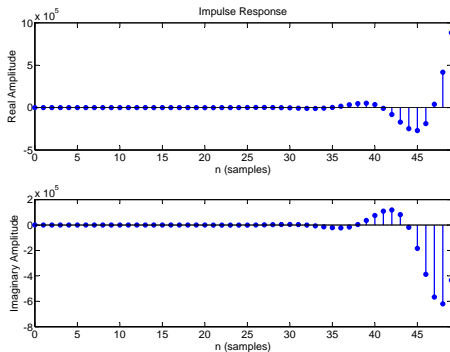


## Odpowiedź częstotliwościowa filtra cyfrowego



```
n=9; Fs = 1000; F1 = 300; F2 = 400;  
w1 = F1/(Fs/2); w2 = F2/(Fs/2);  
[b,a] = butter(n, [w1,w2], 'stop');  
freqz(b,a,128,Fs)
```

## Odpowiedź impulsowa filtru cyfrowego



```
n=5; Fs = 1000; F1 = 100; F2 = 200;  
w1 = F1/(Fs/2); w2 = F2/(Fs/2);  
[z,p,k] = butter(n,[w1 w2]);  
impz(z,p,50)
```

Selekcja minimalnego rzędu filtru spełniającego wymagania projektowe

$$[n, Wn] = \text{buttord}(Wp, Ws, Rp, Rs)$$

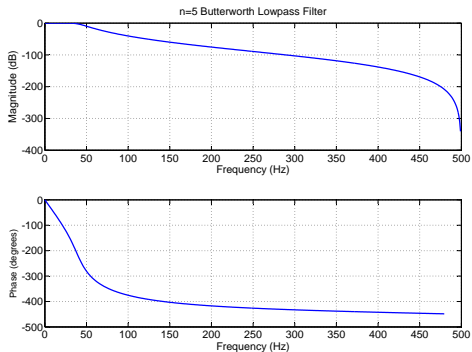
$Wp$  - częstotliwość odcięcia (pasmo  $\in [0, 1]$ )

$Ws$  - częstotliwość pasma zaporowego  $\in [0, 1]$

$Rp$  - dopuszczalne zafalowania w paśmie przenoszenia [dB]

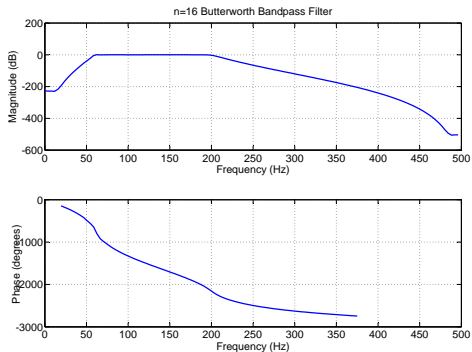
$Rs$  - tłumienie w paśmie zaporowym [dB]

# buttord



```
Fs = 1000; Wp = 40/500; Ws = 150/500;  
Rp = 3; Rs = 60;  
[n,Wn] = buttord(Wp,Ws,3,60);    >> n = 5;    >> Wn = 0.0810;  
[b,a] = butter(n,Wn);  
freqz(b,a,512,Fs);
```

# buttord



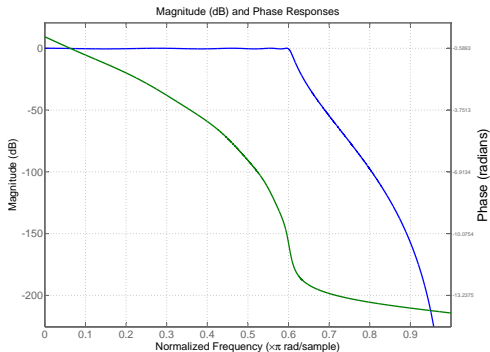
```
Fs = 1000; Wp = [60 200]/500; Ws = [50 250]/500;  
Rp = 3; Rs = 40;  
[n,Wn] = buttord(Wp,Ws,Rp,Rs);  
>> n =16; >> Wn =[0.1198 0.4005];  
[b,a] = butter(n,Wn);  
freqz(b,a,128,Fs)
```

## Filtr Czebyszewa

$[z,p,k]=\text{cheby1}(n,Rp,Wp,'ftype')$

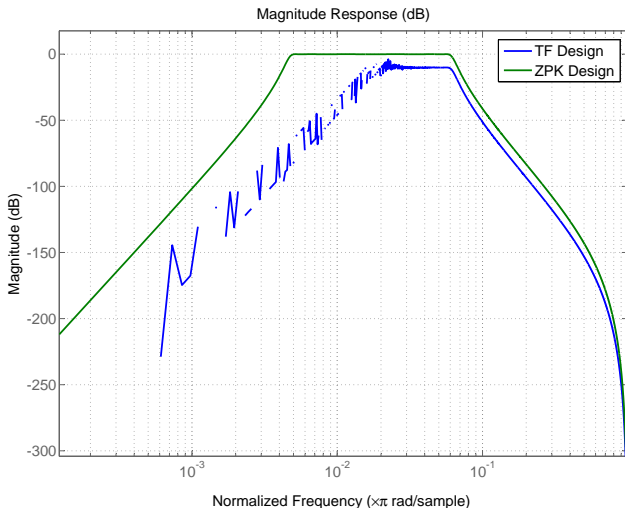
- jednakowe zafalowania w paśmie przenoszenia  $Rp$  [dB]
- maksymalnie płaska ch-ka w pasmie zaporowym
- przejście od pasma przenoszenia do pasma zaporowego szybsze niż w przypadku f. Butterwortha

# cheby1



```
n = 9; Rp = 0.5; F = 300Hz; Fs=1000Hz;  
[z,p,k] = cheby1(9,0.5,300/500);  
[sos,g] = zp2sos(z,p,k);  
Hd = dfilt.df2tsos(sos,g);  
h = fvtool(Hd)  
set(h,'Analysis','freq')
```

## Problemy numeryczne związane z zaokrągleniem





## Metody projektowania filtrów IIR

**[z,p,k]=cheby1(n,Rp,Wp,'ftype')**

$$H(z) = k \frac{(z - z_1)(z - z_2) \dots (z - z_n)}{(z - p_1)(z - p_2) \dots (z - p_m)}$$

**[sos,g]=zp2sos(z,p,k)**

$$\mathbf{sos} = \begin{bmatrix} b_{01} & b_{11} & b_{21} & 1 & a_{11} & a_{21} \\ \vdots & \vdots & \vdots & \vdots & \vdots & \vdots \\ b_{0L} & b_{1L} & b_{2L} & 1 & a_{1L} & a_{2L} \end{bmatrix}$$

$$H(z) = g \prod_{k=1}^L H_k(z) = g \frac{b_{0k} + b_{1k}z^{-1} + b_{2k}z^{-2}}{1 + a_{1k}z^{-1} + a_{2k}z^{-2}}$$

# cheby1

```
n = 6;
Rp = 0.1;
Wn = ([2.5e6 29e6]/500e6);
ftype = 'bandpass';

%Filtr niestabilny !!!
[b,a] = cheby1(n,Rp,Wn,ftype);
h1=dfilt.df2(b,a);

% Zero-Pole-Gain design
[z, p, k] = cheby1(n,Rp, Wn,ftype);
[sos,g]=zp2sos(z,p,k);

%Filtr stabilny!!!
h2=dfilt.df2sos(sos,g);

hfvt=fvtool(h1,h2,'FrequencyScale','log');
legend(hfvt,'TF Design','ZPK Design')
```

# cheb1ord

Szacowanie rzędu filtru dla zadanych specyfikacji

$$[n, Wp]=\text{cheb1ord}(Wp, Ws, Rp, Rs)$$

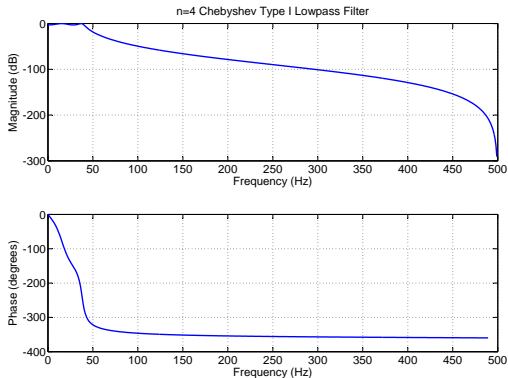
$Wp$  - częstotliwość odcięcia (pasmo  $\in [0, 1]$ )

$Ws$  - częstotliwość pasma zaporowego  $\in [0, 1]$

$Rp$  - dopuszczalne zafalowania w paśmie przenoszenia [dB]

$Rs$  - tłumienie w paśmie zaporowym [dB]

# cheb1ord



```
Wp = 40/500; Ws = 150/500;  
Rp = 3; Rs = 60;  
[n,Wp] = cheb1ord(Wp,Ws,Rp,Rs)  
% Returns n = 4 Wp =0.0800  
[b,a] = cheby1(n,Rp,Wp);  
freqz(b,a,512,1000);  
title('n=4 Chebyshev Type I Lowpass Filter')
```

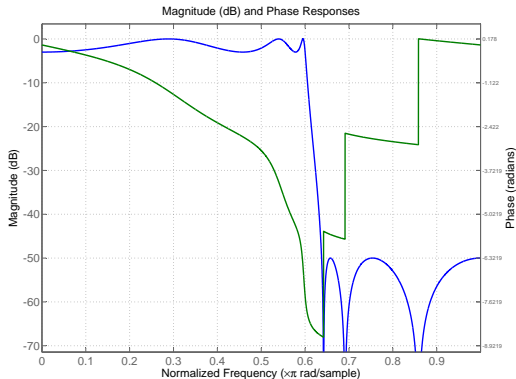
Filtr eliptyczny zapewnia „najszybsze” przejście dla danego rzędu z pasma przenoszenia do pasma zaporowego

$$[z,p,k] = \text{ellip}(n,Rp,Rs,Wp,'ftype')$$

$Wp$  - częstotliwość odcięcia (pasmo  $\in [0, 1]$ )

$Rp$  - dopuszczalne zafalowania w paśmie przenoszenia [dB]

$Rs$  - tłumienie w paśmie zaporowym [dB]



```
n=6; Rp = 3; Rs=50; F=300; Fs=1000; w = F/(Fs/2);  
[z,p,k] = ellip(n,Rp,Rs,w);  
[sos,g] = zp2sos(z,p,k);  
Hd = dfilt.df2tsos(sos,g);  
h = fvtool(Hd)  
set(h,'Analysis','freq')
```

Szacowanie rzędu filtru dla zadanych specyfikacji

$$[n, Wp]=\text{ellipord}(Wp, Ws, Rp, Rs)$$

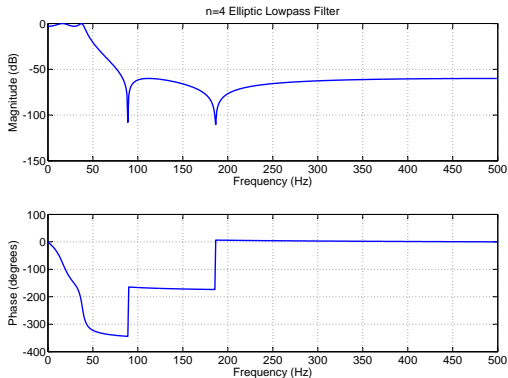
$Wp$  - częstotliwość odcięcia (pasmo  $\in [0, 1]$ )

$Ws$  - częstotliwość pasma zaporowego  $\in [0, 1]$

$Rp$  - dopuszczalne zafalowania w paśmie przenoszenia [dB]

$Rs$  - tłumienie w paśmie zaporowym [dB]

# ellipord



```
Wp = 40/500; Ws = 150/500;  
Rp = 3; Rs = 60;  
[n,Wp] = ellipord(Wp,Ws,Rp,Rs)  
% Returns n =4 Wp =0.0800  
[b,a] = ellip(n,Rp,Rs,Wp);  
freqz(b,a,512,1000);  
title('n=4 Elliptic Lowpass Filter')
```